

الملخص

تهدف الدراسة إلى حساب حجم الجريان المائي في حوض وادي ساورا والعمليات الجيومورفولوجية الناتجة من الجريان السطحي، فان حوض وادي ساورا يعتمد في جريانه على الامطار الساقطة والبالغة أكثر من (500) ملم اذ يتحول القسم الأعظم منها إلى جريان سطحي في الحوض والباقي يتسرّب إلى باطن الأرض. تبلغ مساحة حوض وادي ساورا (239.83) كم² الذي ينبع من جبال بترخن ليجري باتجاه الجنوب إلى ان يصب في بحيرة دوكان. ويعتبر احد الوديان الموسمية التي تجري المياه في بعض روافده طول أشهر السنة معتمدة على العيون والينابيع الموجودة فيها على شكل جريانات مائية سيلية تتركز في الاقسام الوسطى من الحوض. ولحساب حجم الجريان المائي في حوض وادي ساورا تم الاعتماد على انموذج سنайдر التي تعد الطريقة الاشهر في حساب الجريان المائي لأحواض المناطق التي تفتقد إلى بيانات مسجلة عن العواصف المطرية والجريان. وعند دراسة الجريان المائي السطحي الكلي فقد بلغ (264,245,667) م.3 وقد تم رسم المنحنى البياني للجريان الذي يبين العلاقة بين الجريان والزمن الذي تم رسمه بعد دراسة متغيرات الجريان في أحواض وادي ساورا. وقد رافق الجريان المائي السطحي عمليات جيومورفولوجية كالتعريمة الصفائحية والمسيلية والاخودودية، وقد أظهرت الدراسة ان الحوض يتعرض لعملية التعريمة الاخودودية وبدرجات

حساب حجم الجريان السطحي والعمليات الناتجة عنه في حوض وادي ساورا^(*)

أ. م. د. هالة محمد عبد الرحمن

نهرین حسن عبود

(*) بحث مستقل لأطروحة الدكتوراه الموسومة. هيدروجيومورفولوجية حوض وادي ساورا في محافظة السليمانية، جامعة بغداد، كلية التربية للبنات، قسم الجغرافية، 2016.

Calculation of Water flow in basin of Saura valley and its resulted process

الشدة كلها من (1-7)، وتعد التعرية العالية جداً هو النمط السائد في الحوض اذ تشكل ما نسبته (36.70%) من مجموع المساحة الكلية لمنطقة الدراسة.

Assist. Prof. Dr. Hala Mohammed
Abdul Rahman Nahrain Hasan Abood

Abstract

The study aims to calculate the volume of water flow in the basin of the Saura valley. and geomorphological processes resulting from the run-off. The Saura valley basin flow depends on rainfall, amounting more than 500 mm, where the largest amount of them turns into runoff in the basin and the rest seeps into the ground. The area of Valley Saura Basin (239.83) Km², which flows from the mountains of Btrechn to the south to emptying into Dukan Lake. It is considered as one of seasonal valleys that water flows in some of its tributaries along the months of the year depending on springs as Water flowage concentrated in the central sections of the basin.

To calculate the volume of water flow in the basin of the Saura valley. we depend on Snyder Sample. which is the famous way to calculate

المقدمة

تعد الموارد المائية من المرتكزات الأساسية وأهم متطلبات الحياة التي لا يمكن استمرارها بدون الماء وله دور أساس في تشكيل أغلب عناصر البيئة وتكونها، وهو أحد المقومات الأساسية للتنمية في جوانبها كافة إذ يمثل الركيزة الأساسية لأنشطة الإنسان، لذا لا بد من أن يحسن استخدامه في ظل تنامي الطلب عليه باعتماد الأساليب التي تضمن حمايته من الهدر والضياع والتلوث وبما يؤمن حاجاته الحالية والمستقبلية.

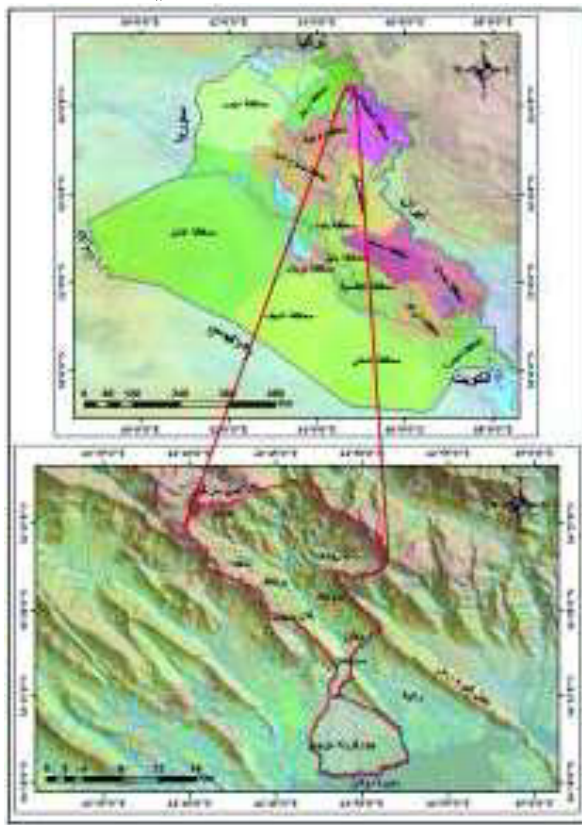
وتزايد الحاجة وبشكل مستمر للموارد المائية في العراق لزيادة النمو السكاني وزيادة حاجتهم من المياه في جميع القطاعات الانتاجية خصوصا الزراعية والصناعية مع ما رافقه من تناقص في كمية الإيرادات المائية لأسباب طبيعية في مقدمتها مشكلة الاحتراز العالمي، وبشرية متمثلة باستخدام المياه ورقة سياسية كما تفعل كل من تركيا وايران في العراق، إذ شهدت السنوات الأخيرة تناقصاً واضحاً في كميات الأمطار وفي حصصه المائية لاستغلالها من الدول المتشارطة على نهرى دجلة والفرات رغم وجود المعاهدات والاتفاقيات الدولية التي ترسم حصص كل جانب. وتلبية لهذه الحاجة كان لابد من تنظيم استخدامها والتخطيط الأمثل لاستثمارها باعتماد الدراسات الهيدرولوجية وربطها بالمتغيرات البيئية المختلفة لتحديد كمية المياه القابلة للاستثمار.

وأستأثرت دراسة المياه واستثماراتها باهتمام الباحثين لأجل مستقبل اقتصادي مضمون لأية منطقة كونها ثروة طبيعية مهمة يعتمد عليها في

the water runoff basin that lack the registered data on storms and rain runoff.

When calculating the total water runoff, it reached (264,245,667) m³. The curve of the flow chart has been drawn that shows the relationship between the output and the time that has been drawn after studying the flow variables in the basins of Saura Valley. Runoff water surface was accompanied. Geomorphological processes such as Laminate. Dissolvent and Furrow Erosions. The study showed that the basin is exposed to the process of Furrow Erosions and grandstands all the intensity (1-7), and the very high erosion is the dominant pattern in the basin as comprising (36.70%) of the total area of the study region .

الخريطة (1) موقع حوض وادي ساورا



المصدر: من عمل الباحثة اعتماداً على المركبة الفضائية لقمر الصناعي Quick Bird. 2010. بقدرة تمييزية 60 سم بالاعتماد على برنامج ArcGIS v9.3.

أولاً. حساب حجم الجريان السطحي :

تعد الدراسات الهيدرولوجية ذات أهمية خاصة لارتباطها في مجالات تنمية الموارد المائية ومشاريع التنمية الزراعية في المناطق ذات المصادر المائية التي لا تتوافر فيها محطات لقياس الجريان المائي السطحي، إذ يعتمد على المعادلات الرياضية من خلال حساب كمية الأمطار الساقطة التي تعدّ من أهم المتغيرات الهيدرولوجية فضلاً عن العوامل الأخرى.⁽¹⁾

ويعتمد حوض وادي ساورا في جريانه على

تطوير مناطق وجودها اذا ما استثمرت بشكل عقلاني ومدروس، فضلاً عن أهميتها في الدراسة الجيومورفولوجية إذ تُعد العامل الرئيس في تشكيل مظاهر سطح الأرض.

حدود منطقة الدراسة

يقع حوض وادي ساورا في الشمال الشرقي من العراق في محافظة السليمانية ضمن الحدود الإدارية لقضاء رانية، ينحصر فلكياً ما بين قوسين طول (36.25° - 36.10°) ودائرة عرض (-44.40° - -44.50°). تلحظ الخريطة (1).

مشكلة الدراسة

ما مدى علاقة الجريان المائي والعمليات الناتجة منه في تشكيل سطح الأرض للحوض.

فرضية الدراسة

للجريان المائي السطحي والعمليات الناتجة منه دور في تشكيل سطح الأرض للحوض.

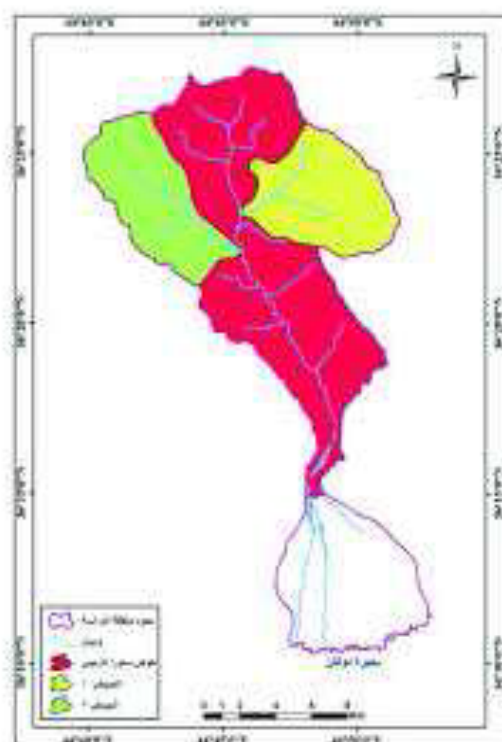
هدف الدراسة.

يمكن تحديد اهداف الدراسة بما يأتي.

1. حساب حجم الجريان المائي في حوض وادي ساورا باستخدام انموذج سنایدر.
2. معرفة اهم العمليات الجيومورفولوجية الناتجة من الجريان المائي.

مسجلة عن العواصف المطرية والجريان. إذ قدم طريقته بأشتقاق مجموعة من المعادلات التجريبية لرسم الهيدروغراف القياسي بناء على دراسة لمجموعة من أحواض التصريف في شرق الولايات المتحدة.⁽³⁾ وقد قسمت منطقة الدراسة إلى ثلاثة أحواض ثانوية، تلحظ الخريطة (2).

الخريطة (2) حوض وادي ساورة وأحواضه
الثانوية



المصدر. من عمل الباحثة اعتماداً على المرينة الفضائية للتمر المناعي Quick Bird. بدقة تميرية 60 سم بالاعتماد على برنامج Arc GIS v9.3. 2010.

الأمطار الساقطة البالغة أكثر من 500 ملم إذ يتحول القسم الأعظم منها إلى جريان سطحي في الحوض والباقي يتسرب إلى باطن الأرض. لذا يعد أحد الوديان الموسمية الجريان، وقد تجري المياه في بعض روافده طول أشهر السنة معتمدة على العيون والينابيع الموجودة فيها ،على شكل جريانات مائية سيلية تتركز في الأقسام الشمالية والوسطى من الحوض.⁽²⁾ تلحظ الصورة (1)

الصورة (1) الجريان المائي في وسط حوض
وادي ساورة الرئيس



التقطت بتاريخ 19/9/2014

ومن أهم المعادلات المستخدمة هي.
Time of Concentra-
tion (T.C)

يقصد به الوقت المستغرق لوصول أبعد نقطة

ولحساب الجريان السطحي في حوض وادي ساورة تم الاعتماد على أنموذج سنایدر Snyder model التي تعد الطريقة الشهير في تقدير الجريان لأحواض المناطق التي تفتقد إلى بيانات

H. فارق الارتفاع بين المعدل والارتفاع الأدنى للحوض. م

وبتطبيق المعادلة على أحواض منطقة الدراسة نجد أنَّ زمن التركيز منخفض في تلك الأحواض جميعها إذ يسجل الحوضان (1). (2) أدنى قيمة والبالغة 38.8. 50.4 دقيقة على التوالي وهذا يعود إلى المساحة الصغيرة للحوض وقصر المسافة ما بين المنبع والمصب، فضلاً عن ارتفاع الحوض النسبي، في حين سجل حوض ساورة الرئيس 1.7 ساعة، يلاحظ الجدول (1).

وتشير هذه القيم المنخفضة إلى سرعة وصول موجة الفيضان إلى المصب عقب سقوط الأمطار إذ لا تتجاوز في أحسن الظروف ساعتين مما يؤثر في الأشكال الأرضية الموجودة إذ يزداد نشاط التعرية المائية التي تسببها السرعة العالية لجريان المائي في الحوض.

من مياه الأمطار الساقطة في الوادي إلى المصب ويتأثر بالخصائص المنساوية للحوض مثل الطول والعرض والمساحة التي تتناسب طردياً معه، إذ كلما زادت هذه الخصائص كلما زاد زمن التركيز الذي يقلل من خطر الفيضان، وتتحفظ كمية المياه الوالصة للمصب أمّا بالت弟兄 أو التسرب إلى باطن الأرض، مما يخفض من ذروة الجريان. وبذلك فهو يتاسب عكسياً مع ذروة الجريان إذ كلما زاد زمن التركيز قلت ذروة الجريان وبالعكس.⁽⁴⁾

ويستخرج من الصيغة الرياضية الآتية.

$$T_c = 75 \frac{4(s)^{0.5} + (1.5L)}{0.8(H)^{0.5}}$$

إذ إنَّ:

Tc. زمن التركيز. ساعة

S. انحدار الحوض. كم

L. طول المجرى. كم

الجدول (1) زمن التركيز في أحواض وادي ساورة

ن	الحوض	انحدار الحوض S	طول المجرى L	فارق الارتفاع H	زمن التركيز Tc ساعة	زمن التركيز Tc دقيقة
١	الحوض الرئيس	٠,٦	٢٧,٦٩	١٦٦٠	١,٧	١٠٢,٩
٢	الحوض ١	٠,١٠	٩,٩٦	١٥٣٠	٠,٦٤	٣٨,٨٣
٣	الحوض ٢	١,٤١	١١,٢٤	١٥٨٥	٠,٨٤	٥٠,٤

المصدر. من عمل الباحثة آعتماداً على المرئية الفضائية للقمر الصناعي Quick Bird، 2010، بقدرة تمييزية 60 سم بالإعتماد على برنامج Arc GIS v9.3. والمعادلة الحسابية.

Lca. المسافة الفاصلة بين مصب الحوض

ومركز ثقله. كم.
ويتبين زمن التباطؤ من حوض إلى آخر
اعتماداً على عدة متغيرات جيومورفولوجية أهمها
مساحة الحوض وطول المجرى والإنحدار العام
للحوض التي تؤثر بشكل واضح في سرعة وصول
الجريان إلى المصب فضلاً عن دور الإنسان
خصوصاً في مجال الحراثة وتغيير شكل التربة
ولذلك استجابة التربة لهذا عمليات. وبتطبيق
تلك المعادلة نجد أنَّ الحوض (1) أقل الأحواض إذ
إنَّ الوقت الذي يفصل ما بين التساقط والجريان
لا يتجاوز 35.4 دقيقة في حين كان في الحوض
(2) 42.6 دقيقة يلاحظ الجدول (2). ويعود قصر
الזמן في هذه الأحواض إلى صغر مساحاتها
وقصر المجرى الرئيسية فيها وسجل حوض وادي
ساورة الرئيس أعلى قيمة في زمن التباطؤ إذ بلغ
1.22 ساعة ويعزى ذلك إلى كبر المساحة مقارنة
بأحواض الأخرى، فضلاً عن طول المسافة ما
بين المصب ومركز ثقله.

2. زمن التباطؤ (Lag time) (T.p)

زمن آستجابة الحوض لهطول الأمطار أو
المدة المحصورة ما بين بداية سقوط الأمطار
وببداية الجريان. (5)

ويعد أحد المتغيرات الهيدرولوجية المهمة
كونه يدخل في تقدير حجم الجريان وذرته.
ويعتمد على أقصى طول للحوض مع طول مسار
الحوض من مركز نقله. فهو يتعامل مع طول
المجرى الرئيس وأنحدار السطح.

ويستخرج رياضياً بالمعادلة الآتية: (6)

$$tp = ct (Lb \times Lca)^{0.3}$$

إذ إنَّ.

Tp. زمن التباطؤ بالساعة.

Ct. معامل زمن تدفق الذروة وهو خاص
بطبيعة الحوض وأنحداره وتتراوح قيمة ما بين
(2.2.0.2).

Lb. طول المجرى الرئيس. كم.

الجدول (2) زمن التباطؤ في أحواض وادي ساورة

ت	الحوض	طول المجرى كم Lp	المسافة الفاصلة Lca	زمن التباطؤ ساعة tp	زمن التباطؤ دقيقة tp
١	الحوض الرئيس	٢٧,٦٩	١٥	١,٢٢	٧٣,٥
٢	الحوض ١	٩,٩٦	٣,٨	٠,٥٩	٣٥,٤
٣	الحوض ٢	١١,٢٤	٦,٢	٠,٧١	٤٢,٦

المصدر. من عمل الباحثة آعتماداً على المرئية الفضائية للقمر الصناعي Quick Bird، 2010،
بقدرة تميزية 60 سم بالإعتماد على برنامج Arc GIS v9.3. والمعادلة الحسابية.

.Tr. المدة الزمنية المثلالية لسقوط الأمطار.

ساعة Tp. مدة استجابة الحوض لسقوط الأمطار.
ساعة وبتطبيق تلك المعادلة على أحواض وادي ساورة وجد أن تلك القيم منخفضة في الأحواض كلها إذ بلغت في الحوض الرئيس 13.2 دقيقة، والوحوض (1) 6.4 دقيقة والوحوض (2) 7.7 دقيقة، يلاحظ الجدول (3) مما يشير إلى أن أحواض منطقة الدراسة سريعة الإستجابة للجريان بعد سقوط الأمطار.

3. القيمة الزمنية المثلالية. Tr

يمثل هذا المتغير الوقت اللازم من سقوط الأمطار لحدوث الجريان السطحي. ويتبين من حوض إلى آخر اعتماداً على عدة متغيرات أهمها التكوين الجيولوجي والإنحدار ونوع التربة. فضلاً عن عملية تكرار الأمطار إذ يكون الوقت طويلاً جداً إذا كان سقوط الأمطار في بداية موسم الأمطار في حين يكون قصيراً في نهاية موسم الفيضان. ويستخرج رياضياً في ضوء المعادلة الآتية. ⁽⁷⁾

$$Tr = \frac{tp}{5.5}$$

إذ إنَّ.

الجدول (3) القيمة الزمنية المثلالية في أحواض وادي ساورة

القيمة الزمنية بالدقيقة	القيمة الزمنية بالساعة	مدة الإستجابة tp ساعة	الوحوض	t
13,2	0,22	1,22	الوحوض الرئيس	١
6,4	0,10	0,59	الوحوض ١	٢
7,7	0,12	0,71	الوحوض ٢	٣

المصدر. من عمل الباحثة آعتماداً على المعادلات الحسابية.

$$Qp = \frac{CP \times A}{tp}$$

إذ إنَّ.
Qp. قيمة التدفق الأقصى في المجرى م3. ثا
A . مساحة الحوض كم²
Cp . معامل يرتبط بقابلية حوض التصريف المائي لتخزين المياه ويتراوح بين (2-6.5).
Tp. مدة آستجابة حوض التصريف لهطول

4. حساب ذروة الجريان. Qp

قيمة أقصى تدفق لمياه المجرى مما ينتج عنها سيول⁽⁸⁾. وتتوقف على كمية الأمطار الساقطة ونوعيتها وتركيزها ونوعية الصخور، فضلاً عن مسافة حوض التصريف إذ تزداد بزيادة هذه العوامل.

ويستخرج رياضياً بالمعادلة الآتية ⁽⁹⁾

الأمطار.

بالحوض الرئيس.

وعلى الرغم من انخفاض تلك القيم في حوض وادي ساورة نجد أنّها تشكل خطورة على بعض مناطقه لاسيما في الجزء الجنوبي الذي يمتاز بانخفاض أراضيه مما يعرضه إلى خطر الفيضان لاسيما وأنّ هناك بعض القرى الزراعية التي تتركز فيه.

وبتطبيق المعادلة على أحواض وادي ساورة وجد أنَّ الحوضين 1،. بينت قيمة التدفق فيما (232.3، 285.8) م³. ثا على التوالي وهي قيم منخفضة مقارنة بحوض وادي ساورة الرئيس الذي وصلت قيمته 376.34 م³. ثا. يلاحظ الجدول (4) ويعود ذلك إلى صفر مساحة الحوضين 1،.. قياساً

الجدول (4) ذروة الجريان في أحواض وادي ساورة

نوع الحوض	المساحة كم ²	المدة آستجابة الحوض لمطر t _p (الباطئ)	قيمة التدفق الأقصى (ذروة الجريان) M ³
1 حوض ساورة الرئيس	10.932	1.22	376.34
الحوض 1	40.16	0.59	285.88
الحوض 2	39.28	0.71	232.36

المصدر. من عمل الباحثة آعتماداً على المرئية الفضائية للقمر الصناعي Quick Bird، 2010، بقدرة تميزية 60 سم بالإعتماد على برنامج Arc GIS v9.3. والمعادلة الحسابية.

$$T_m = \frac{1}{3} * T_b$$

5. حجم الجريان السطحي الكلي :

وبتطبيق تلك المعادلة على حوض وادي ساورة وفروعه وجد أنَّ حجم الجريان الكلي فيه 264.245.6666 مليون م³ ويأتي في المرتبة الأولى حوض وادي ساورة الرئيس إذ بلغ 57.92% 153.044.9333 مليون م³ بنسبة (1) من حجم الجريان الكلي يليه الحوض (2) 21.28% 56.223.06667 م³ بنسبة 20.80% 54.977.66667 م³ بنسبة (5). يلاحظ الجدول

لمعرفة حجم الجريان السطحي في حوض وادي ساورة وفروعه الثانوية تم حسابه في ضوء المعادلة الآتية:

$$Q = Q_p x T_m$$

إذ إنَّ:

Q. التصريف الكلي.

Q_p. ذروة الجريان.

T_m. مدة الإرتفاع التدريجي وتسخراج بالمعادلة الآتية⁽¹⁰⁾:

T_b. الزمن الأساس للسائل

ويسمى حوض ساورة الرئيس بأكثر من نصف حجم الجريان السطحي لمنطقة الدراسة، ويعود

كمية أكبر من الأمطار وزيادة في الفائض المائي الذي هو أساس الجريان، فضلاً عن شدة الإنحدار في الحوض الذي لا يعطي فرصة للتبيخ أو التسرب مما يعني قلة فقدان المياه في أثناء الجريان وسرعة وصول الموجات الفيضانية إلى المصب.

ذلك إلى كبر مساحة الحوض مقارنة بالأحواض الأخرى إذ تصف الأحواض الكبيرة بتباین في تكويناتها الجيولوجية إذ إنّ بنية الحوض تظم شقوق وفواصل صخرية تؤثر في حجم الجريان السطحي فضلاً عن أنّ هناك علاقة طردية ما بين مساحة الحوض وكمية المياه المنصرفة فيه فكلما كبرت المساحة زاد من احتمالية آسسلام

الجدول (5) حجم الجريان الكلى في حوض وادي ساورة وفروعه

نسبة المئوية	حجم الجريان الكلى م³	المساحة كم²	الحوض	ت
٥٧,٩٢	١٥٣,٠٤٤,٩٣٣٣	١٠٩,٢٣	الحوض الرئيس	١
٢١,٢٨	٥٦,٢٢٣,٠١١٧	٤٠,١٦	الحوض ١	٢
٢٠,٨٠	٥٤,٩٧٧,١١١٧	٣٩,٢٨	الحوض ٢	٣
% ١٠٠	٢٦٤,٢٤٥,١١١١	١٨٨,٦٧	الحوض الكلى	٤

المصدر. من عمل الباحثة آعتماداً على المرئية الفضائية للقمر الصناعي Quick Bird، 2010، بقدرة تميزية 60 سم بالإعتماد على برنامج Arc GIS v9.3. والمعادلة الحسابية.

1) في حين تكون 7.7 دقيقة في الحوض (2). ويعود ذلك إلى التباين في مساحة هذه الأحواض.

2 - ظهرت في أحواض منطقة الدراسة جميعها قمة واحدة منحنية وتستمر لمدة قصيرة لا تتجاوز 11 دقيقة ثم تبدأ بالتراجع والإخفاض بشكل تدريجي وهذا ما توضحه المنحنيات التصريفية للأحواض الثلاثة.

3 - تراوحت مدة الجريان ما بين (6-2 ساعات) وبقيمة تصريف 153.04.25 مليون م³/ثا لحوض وادي ساورة الرئيس الذي يستمر الجريان فيه لمدة أكثر من 6 ساعات ومن ثم

وبالنظر لتقارب مساحة الحوضين (1، 2) فقد كان حجم الجريان المائي فيهما متقارباً أيضاً وذلك لتشابه ظروفهما الجيولوجية والتضاريسية والمناخية.

6. المنحنى البياني للجريان Hydrograph مخطط بياني للعلاقة ما بين الجريان والزمن. وتم رسمه بعد دراسة متغيرات الجريان في أحواض وادي ساورة، للحظ الأشكال (1، 2، 3) التي تبين ما يأتي.

1 - يصبح الجريان الفعلي بعد تساقط مطري لمدة 13.2 دقيقة فقط في حوض وادي ساورة الرئيس وتقل لتصبح 6.4 دقيقة في الحوض (

مليون م³ بذروة جريان 232.3 م³/ثا وتبدأ بعد 42.6 دقيقة من بداية الجريان وتستمر بالجريان لمدة 3.4 ساعة يلاحظ الجدول (6).

4 - ينخفض التصريف العالي للأحواض بشكل تدريجي ويستمر لمدة طويلة بكميات قليلة على شكل جريان خطي.

ينتهي بذروة جريان بلغت 376 م³/ثا تحدث بعد ساعة. 13 دقيقة من بداية الجريان وهي قيمة مرتفعة تشير إلى دلالة فيضان عالي، في حين بلغت مدة الجريان في الحوض (1) أكثر من ساعتين بحجم جريان كلي 56.22 مليون م³ بذروة 285.8 م³/ثا وتبدأ بعد 35.4 دقيقة على بداية الجريان. أمّا الحوض (2) الذي يستمر الجريان فيه لمدة تزيد على. ساعات وبحجم الكلي يبلغ 54.97

الجدول (6) الخصائص الهيدرولوجية لأحواض وادي ساورة

الرقم	الحوض	زمن التباطؤ (الاستجابة) دقيقة	آستمار الجريان. ساعة	القيمة الزمنية دقيقة	ذروة الجريان م ³ /ثا	الجريان الكلي مليون م ³
١	الحوض الرئيس	٧٣	٦,٨	١٣,٢	٣٧٦,٣٤	١٥٣,٠٤
٢	الحوض ١	٣٥,٤	٢,٦	٦,٤	٢٨٥,٨٨	٥٦,٢٢
٣	الحوض ٢	٤٢,٦	٣,٤	٧,٧	٢٣٢,٣٦	٥٤,٩٧

× تم استخراجه من ضرب زمن التركيز. 4

المصدر. الباحثة آعتماداً على المعادلات الحسابية

ثانياً. عمليات الجريان السطحي.

تؤدي المياه دوراً كبيراً في تشكيل مظاهر سطح الأرض المختلفة لما تقوم به من عمليات تعرية ونقل وترسيب وإذابة، وتتبادر من مكان إلى آخر تبعاً لعدة عوامل التي تمثل في منطقة الدراسة بالأتي.

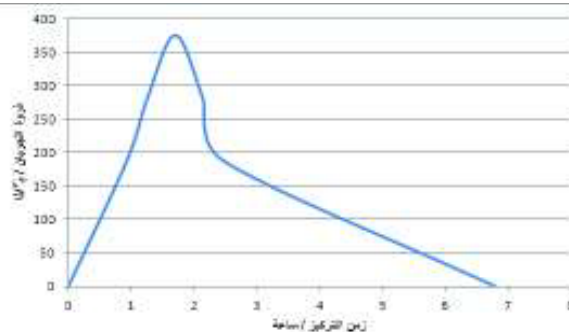
1. التعرية الصفائحية Sheet Erosion

تحدث في المناطق البسيطة الانحدار إذ تجتمع مياه الأمطار لتجري إلى أسفل المنحدرات جارفة معها طبقة من المواد المفتة كالغرين والطين لتسقير ذرات التربة في قاعدة السفوح وتتجمع في طبقة سميكه يطلق عليها إرسبات مسارات السفوح.⁽¹¹⁾ ويؤدي تكرار العملية إلى آنتقال المواد العضوية والناعمة من المناطق المرتفعة باتجاه المناطق المنخفضة مما يسفر عنه زوال طبقة بأكملها من الترب الخصبة في هذه المناطق، لذا فهو يعد من أخطر أنواع التعرية وهنا لا نغفل دور التعرية الريحية التي لها دور مساعد في التعرية.

يحدث هذا النوع من التعرية في منحدرات الجزء الجنوبي من الحوض لأنحدار المنطقة التدريجي وقلة الغطاء النباتي وتعرضها للجفاف مدة طويلة مما يسهم في نشاط عملية التجوية التي تهئ المواد الناعمة والمفككة لتنقلها إلى المكان التي تجتمع فيه عند أقدام المنحدرات.

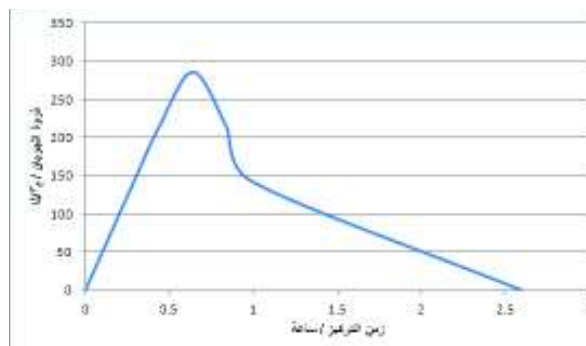
2. تعرية المسارات المائية Rill Erosion

يؤدي الإرتفاع مع ما يرافقه من شدة الإنحدار وقلة الغطاء النباتي واستجابة التربة دوراً في زيادة سرعة الجريان المائي الذي يتحول من



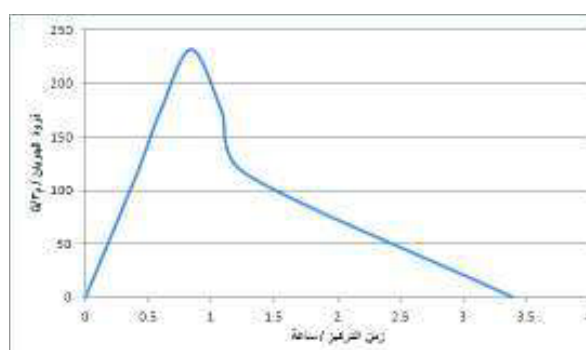
الشكل (1)

منحنى هيدروغرافي لحوض وادي ساورا الرئيس المصدر. الباحثة آعتماداً على المعادلات الحسابية



الشكل (2)

منحنى هيدروغرافي للحوض (1)
المصدر. الباحثة آعتماداً على المعادلات الحسابية



الشكل (3)

منحنى هيدروغرافي للحوض (2)
المصدر. الباحثة آعتماداً على المعادلات الحسابية

الشبكة النهرية للحوض وتفرعاته كلها من المرئية الفضائية للقمر الصناعي Quick Bird Arc لسنة 2010. ومعالجتها باستعمال برنامج GisV9.3 وقسمت على مجموعة من المربعات مرقمة من 1-224 مربعاً، ثم حسبت أطوال الأخداد في كل مربع على وفق معادلة Bergs- ma (15).
يأتي

معدل التعرية = مجموع أطوال الأخداد في الوحدة المساحية/م

مساحة المحددة المساحة/كم²

تبينت أطوال الأخداد في الوحدات المساحية مما يعني ان الحوض يتعرض لعملية التعرية الاخدودية وبدرجات الشدة كلها (1-7) يلاحظ الملحق (1).

4. أنطقه التعرية.

إن تباين سقوط الأمطار وشدتها أدى إلى ظهور مشكلة آنجراف التربة في منطقة الدراسة فضلاً عن الإستخدام غير الصحيح للأراضي الزراعية، وبالنسبة لتساقط الأمطار، فإن قدرتها تتفاوت على جرف التربة في الوادي اعتماداً على الزخة المطرية وقوة هطولها، إذ يقل آنجراف التربة إذا كانت الأمطار خفيفة، إذ تسمح التربة في تسرب المياه إلى أعماقها لاسيما في المناطق ذات الإنحدار القليل، ولكن في المناطق ذات الإنحدار الشديد تتعرض التربة إلى عملية آنجراف متواصلة، وإن التربة إذا تعرضت لهطول أمطار تجاوزت 30 ملم خلال 24 ساعة تكون سهلة وسريعة آنجراف لأن تركز الهطول في ساعات قليلة وبكميات كبيرة يقلل من فرصة تسرب المياه

جريان منتشر إلى جريان مركز نتيجة سقوط الأمطار لتكون شبكة دقيقة من الميالات المائية التي تتصل مع بعضها البعض بعد أن تقوم بحفر الصخور لتبين صلابتها وتفكك التربة وجرفها ويطلق عليها تعرية الميالات المائية. (12)

ويحدث هذا النوع من التعرية في الأجزاء العليا من الحوض أي من منطقة المنابع بالقرب من مناطق تقسيم المياه إذ تكون التعرية على أشدتها كلما كان الإنحدار أشد كان جريان الميالات المائية أسرع والتعرية أشد.

3. التعرية الأخدودية Gully Erosion

تبعد الميالات بعمق وتوسيع مجاريها في أثناء الحت الرأسي والجانبي فتحول إلى أخداد. تنتج من المياه الجارية نحو أسفل المنحدرات خلال قنوات معينة أو عقب زخة مطرية غزيرة وعلى الرغم من مدتها القصيرة إلا أن طاقتها كبيرة فتزيل المواد المختلفة ودياناً أكثر عمقاً من تلك التي عملتها تعرية الميالات. (13)

وهناك عدة عوامل تحكم في نشوء هذا النوع من التعرية والمتمثلة بطبيعة الصخور ودرجة صلابتها، والتضاريس ودرجة الإنحدار وطول المنحدر، وشدة التساقط، ودرجة تمسك التربة، وقلة الغطاء النباتي، لذا تباين أطوال الأخداد وعمقها وعرضها تبعاً لتلك العوامل إذ نجد بعضها لا يتعدى عرضه عشرات السنتمترات وطولها لا يتجاوز عدة أمتار في حين يتجاوز طول البعض الآخر عشرات أو مئات الأمتار. (14)

ولحساب شدة التعرية الأخدودية وتوزيعها الجغرافي في حوض وادي ساورة تم رسم خريطة

الرغم من آرتفاع المنطقة إلا أنَّ التعرية المائية فيها خفيفة لما تمتاز به بنيتها الجيولوجية من حيث تكويناتها المكونة من صخور مقاومة للتعرية المائية، مما أدى إلى إطالة المجاري المائية لأوديتها دون زيادة تذكر في تعميق المجرى المائي لواديها أو زيادة في نحت جوانب الوادي.

ج. نطاق التعرية المتوسطة.

يحتلُّ أجزاءً من الشرق والشمال الشرقي والشمال الغربي، وتبلغ مساحته نحو 7.99595 كم^2 بنسبة 3.70% من مجموع المساحة الكلية لمنطقة الدراسة. وترجع زيادة التعرية في هذا النطاق لأنحدار المنطقة مما ساعد المجاري المائية على زيادة نحت جوانبها وقيعانها وزيادة تربباتها المتمثلة بترسبات قيغان الأودية لزيادة سرعة المياه، فضلاً عن قلة الغطاء النباتي مع زيادة عمليات الرعي الجائر في المنطقة. يلحظ جدول (7).

إلى التربة ويعمل على تحريك ذراتها السطحية وبدفعها مع السيول. ⁽¹⁶⁾

وأمِكن تمييز سبعة أنطُقه للتعرية حسب شدتها وهي كالتالي.

أ. نطاق التعرية الخفيفة جداً.

تبلغ مساحة هذا النطاق نحو 0.45565 كم^2 بنسبة (0.24%) من مجموع مساحة منطقة الدراسة، ويسود في الأجزاء الشمالية وبمساحات صغيرة جداً، تلاحظ الخريطة (2)، إذ ينتشر في المناطق التي تكون فيها درجة تشعب المجرى قليلة جداً.

ب. نطاق التعرية الخفيفة.

تبلغ مساحة هذا النطاق 2.41077 كم^2 أي ما نسبته (1.27%) من مجموع مساحة منطقة الدراسة، وتنشر في الأجزاء الشمالية والشمالية الشرقية والشرقية والغربية إذ يأتي جزء منها بعد نطاق التعرية الخفيفة جداً، وعلى

الجدول (7) المساحة المتأثرة بالتعرية على وفق شدتها ونسبتها المئوية

النسبة المئوية من مساحة الحوض	المساحة كم²	عدد الواقع	درجة المئوية
٠,٢٤	٠,٤٥	١٨	١
١,٢٧	٢,٤١	٥	٢
٣,٧٠	٦,٩٩	١٣	٣
٢١,٢٤	٤٠,٠٤	٥٧	٤
٣٦,٧٠	٦٩,١٨	٥٤	٥
٤٤,٦١	٤٦,٢٤	٤٣	٦
١٢,٢٤	٢٣,٠٨	٣٤	٧
%١٠٠	١٨٨,٥	٢٢٤	المجموع

المصدر. من عمل الباحثة آعتماداً على المرئية الفضائية للقمر الصناعي Quick Bird، 2010، بقدرة تميزة 60 سم بالإعتماد على برنامج Arc GIS v9.3. والمعادلة الحسابية.

أجزاء واسعة من الحوض على شكل شريط ضيق يبدأ من نصف الوادي تقربياً في الجزء الشرقي ويمتد إلى الأجزاء الشمالية الشرقية والشمالية ثم تصغر مساحته في الأجزاء الشمالية الغربية العليا وينتشر أيضاً في الأجزاء الغربية وفي الأجزاء الشمالية داخل الحوض.

هـ. نطاق التعرية العالية.

يحتل المساحة الأعظم ضمن منطقة الدراسة البالغة (36.70%) 69.18712 كم² بنسبة (36.70%) من مجموع المساحة الكلية لمنطقة الدراسة، وينتشر في أجزاء واسعة من منطقة الدراسة في مناطق أقدام الجبال والمناطق شبه المستوية إذ تحدى المجاري المائية في المرتفعات متوجهة نحو المناطق الأقل انخفاضاً إذ تتميز الأودية بطول

دـ. نطاق التعرية العالية. تبلغ مساحتها نحو (40.04757 كم²) بنسبة (21.24%) من مجموع المساحة الكلية لمنطقة الدراسة. وتأخذ المجاري هنا بالتوسيع عموماً لسهولة العملية التي تساعدها البنية الجيولوجية الهشة المتكونة غالباً من الصخور الرملية والطينية كما أنَّ المواد اللاحمة بين تلك الصخور تتكون من مواد قابلة للإذابة مثل الكاربونات فتستمر الأودية بحفر جوانبها من الأسفل، كما إنَّ أجزاء واسعة ضمن هذا النطاق تغطيها تربات متعددة الأصول التي تضم في مكوناتها مواد كلسية وجبسية تساعده على عمل المجاري وتسهل عملية شق طريقها وزيادة توسيعها على مر الزمن بعمليات التحلل والإذابة، وينتشر هذا النطاق في

الوسطى والغربية والشرقية وجزء قليل من الأقسام الشمالية، وللإنسان دور بارز في زيادة التعرية هنا عن طريق الرعي الجائر وحراثة الأرض وتركها بدون زراعة.

ز. نطاق التعرية الشديدة جداً.

تبلغ مساحتها نحو (23.0865 كم²) بنسبة (12.24%) من مجموع المساحة الكلية لمنطقة الدراسة، يتركز هذا النوع من التعرية في مناطق ذات استعمال عالٍ للأرض الزراعية وفي المناطق ذات المكافف الصخرية القليلة المقاومة للتعرية إذ يكثر فيها وبشكل واضح عدد كبير من مجاري الأنهر.

وتوضح الخريطة (2) إنَّ التعرية الشديدة لم تقتصر على المناطق ذات الإنحدار الشديد وإنَّما ظهرت في كثير من المواقع التي تعد مناطق سهلية وقريبة من المجرى الرئيس، وإنَّ عملية الإنجراف الشديد تحدث في مناطق لا يحكمها الإنحدار الشديد وإنَّما هي عملية تطور طبيعي للشبكة المائية، أمَّا المناطق ذات التعرية الخفيفة فهي قليلة ومترفرقة مقارنة بالأنواع الأخرى.

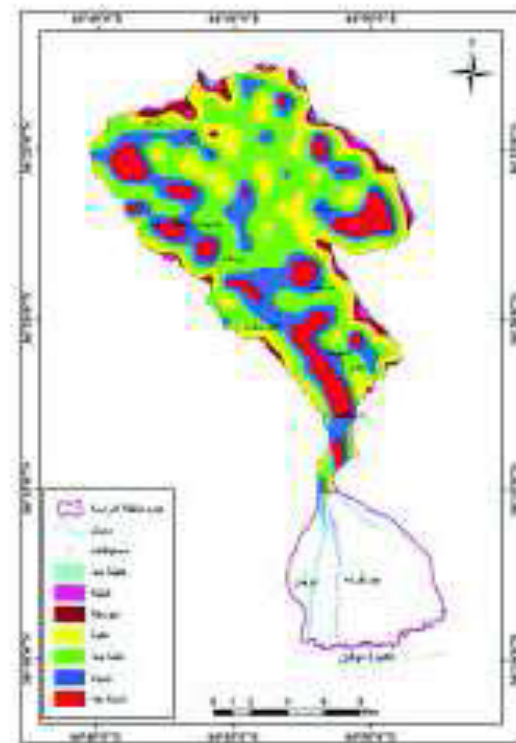
الاستنتاجات والتوصيات

توصلت الدراسة إلى مجموعة من الاستنتاجات منها:

1. بلغ زمن التركيز في حوض وادي ساورة الرئيس (1.7) ساعة. أما الحوضان (1, 2) فقد بلغت (38.83, 50.4) دقيقة على التوالي.

مجاريها وهذا يوضح زيادة عمليات التعرية المائية مع تزايد سرعة المياه.

الخريطة (2) أظهرت التعرية في حوض وادي ساورة بدون زراعة.



المصدر. من عمل الباحثة آعتماداً على :

1. من عمل الباحثة آعتماداً على المرئية الفضائية للقمر الصناعي Quick Bird، 2010، بقدرة تميزية 60 سم بالإعتماد على برنامج Arc GIS v9.3.

2. الخريطة (2)، الجدول (7).

و. نطاق التعرية الشديدة.

يحتل مساحة تقدر. (46.42487 كم²) أي بنسبة (24.61%) من مجموع المساحة الكلية لمنطقة، يتركز هذا النوع من التعرية في المناطق

8. تعد التعرية العالية جداً هو النمط السائد في الحوض.
1. انشاء محطة هيدرولوجية لحساب الجريان المائي في الحوض والاستفادة منه في مختلف مجالات الحياة.
2. اقامة السدود على الوديان الرئيسية لخزن مياه الامطار والاستفادة منها في الشرب والزراعة وسقي الحيوانات .
3. المحافظة على الغطاء النباتي من خلال سنن القوانين التي تمنع قطع الاشجار وتدمير الغطاء النباتي ومنع الرعي الجائر للمحافظة على التربة من التعرية وزيادة عملية التثمير، وشق قوانين تمنع قطع الاشجار.
4. توجيه الفلاحين بالاعتماد على الزراعة الكنتورية من اجل التقليل من عمليات التعرية المائية .
5. عمل مصادر لتقليل من تدفق المياه والتقليل من سرعتها.
6. اظهرت المنحنيات التصريفية للأحواض الثلاث ان هناك قمة منحنية واحدة تستمر لمدة قصيرة لا تتجاوز (11) دقيقة ثم تبدأ بالتراجع والانخفاض.
7. تنشط عمليات التعرية المائية في الحوض بمختلف أنواعها الصحفائية والسائلية والاخوددية.
2. لقد تباينت استجابة الأحواض لهطول الأمطار فقد بلغت أعلى قيمة في حوض ساورة الرئيس (1.22) ساعة. وهي الفترة التي تفصل ما بين التساقط والجريان المائي، في حين سجل الحوضان (1, 2) (42.6, 35.4) دقيقة على التوالي.
3. لقد تباين الوقت اللازم لحدوث الجريان السطحي من حوض لآخر فقد بلغ في حوض ساورة الرئيس (13.2) دقيقة. والوحوض (1) (6.4) دقيقة. أما الحوض (2) فقد سجل (7.7) دقيقة.
4. لقد اختلفت ذروة الجريان في أحواض منطقة الدراسة فقد بلغت اعلاها في حوض ساورة الرئيس التي بلغت (376.34) م³. ثا.
5. يبلغ حجم الجريان الكلي في الحوض (264.245.66) مليون م³ وساهم حوض وادي ساورة الرئيس بأعلى نسبة اذ بلغ (57.92). من الحجم الكلي. في حين توزعت النسب الباقية على حوضي (1, 2) وبنسب متقاربة اذ بلغت (21.28, 20.80) % على التوالي لتقارب مساحتها وبنيتها الجيولوجية والتضاريسية.
6. اظهرت المنحنيات التصريفية للأحواض الثلاث ان هناك قمة منحنية واحدة تستمر لمدة قصيرة لا تتجاوز (11) دقيقة ثم تبدأ بالتراجع والانخفاض.
7. تنشط عمليات التعرية المائية في الحوض بمختلف أنواعها الصحفائية والسائلية والاخوددية.

لواي نعمان، مصدر سابق، ص786.

7- Raghunath. H.M.R.. Hydrology.

Principles analysis design. revised second edition. New age international ltd. Puplishers. 2006. P.150.

8 - احمد عبد الفتاح حسن، احمد عمر عبد العزيز، استخدام تقنيات الاستشعار عن بعد ونظم المعلومات الجغرافية في دراسة اخطار السيول بمحافظة قنا. على الجانب الشرقي لواي قنا)، مجلة ايجي ماتكس، العدد الثاني، 2001، ص51.

9- Raghunath, H.M.R, Op. cit, P.156.

10 - محمد سعيد البارودي وأخرون، استخدام نظم المعلومات الجغرافية في تقدير احجام السيول ومدى خطورتها عند المجرى الأدنى لواي نعمان، مصدر سابق، ص792.

11 - آرثرستيريلر، أشكال سطح الأرض، دراسة جيومورفولوجية الأرض، ترجمة وفيق الخشاب، عبد الوهاب الدباغ، جامعة بغداد، مطبعة دار الزمان، بغداد، 1964، ص159.

12 - سعيد محمد أبو سعدة، هيدرولوجية الأقاليم الجافة وشبه الجافة، ط1، الكويت، 1983، ص80.

13 - مها قحطان جبار، حوض تغذية نهر باسرة. دراسة في الجغرافية الطبيعية، رسالة ماجستير (غير منشورة)، كلية الآداب، جامعة بغداد، 2007، ص166.

14 - كامل حمزة الاسدي، تباين الخصائص

الهوامش

1 - نوال كامل علوان، تقدير حجم الجريان السطحي لحوض وادي دويريج، رسالة ماجستير غير منشورة، كلية التربية للبنات، جامعة بغداد، 2014، ص68.

2 - الدراسة الميدانية بتاريخ 19/9/2014

3 - محمد سعيد البارودي وأخرون، استخدام نظم المعلومات الجغرافية في تقدير احجام السيول ومدى خطورتها عند المجرى الأدنى لواي نعمان جنوب مكة المكرمة من خلال تطبيق نموذج سنایدر واعتماد نموذج الارتفاعات الرقمية، المؤتمر الجغرافي الدولي (الجغرافيا والمتغيرات العالمية المعاصرة)، كلية الآداب والعلوم الإنسانية، جامعة طيبة، مكة المكرمة، 2012، ص773.

4 - اسحق صالح العكام، العلاقة بين الجريان السطحي والمتغيرات الجيومورفولوجية لوديان شرق العراق، مجلة كلية الآداب، العدد 108، 2014، ص238.

5 - محمد سعيد البارودي، تقدير حجم السيول ومخاطرها عند المجرى الأدنى لواي عرين جنوب شرق مدينة مكة المكرمة باستخدام نظم المعلومات الجغرافية، الجمعية الجغرافية المصرية سلسلة بحوث جغرافية العدد 48، القاهرة، 2012، ص53.

6 - محمد سعيد البارودي وأخرون، استخدام نظم المعلومات الجغرافية في تقدير احجام السيول ومدى خطورتها عند المجرى الأدنى

المصادر.

1. أحمد عبد الفتاح حسن، احمد عمر عبد العزيز، استخدام تقنيات الاستشعار عن بعد ونظم المعلومات الجغرافية في دراسة اخطار السيول بمحافظة قنا. على الجانب الشرقي لواي قنا)، مجلة ايجي ماتكس، العدد الثاني، 2001.
2. آرثر ستيرلر، أشكال سطح الأرض، دراسة جيومورفولوجية الأرض، ترجمة وفيق الخشاب، عبد الوهاب الدباغ، جامعة بغداد، مطبعة دار الزمان، بغداد، 1964.
3. اسحق صالح العكام، العلاقة بين الجريان السطحي والمتغيرات الجيومورفولوجية لوديان شرق العراق، مجلة كلية الآداب، العدد 2014، 108.
4. خالد المطري، جغرافية التربة، ط1، الدار السعودية للنشر والتوزيع، جده، 2004.
5. سعيد محمد أبو سعدة، هيدرولوجيا الأقاليم الجافة وشبه الجافة، ط1، الكويت، 1983.
6. كامل حمزة الاسدي، تباين الخصائص المورفومترية لوديان الهضبة الغربية في محافظة النجف وعلاقتها بنشاط البشرى، أطروحة دكتوراه (غير منشورة)، كلية الآداب، جامعة الكوفة، 2012.
7. محمد سعيد البارودي، تقدير حجم السيول ومخاطرها عند المجرى الأدنى لواي عرين جنوب شرق مدينة مكة المكرمة باستخدام نظم المعلومات الجغرافية، الجمعية الجغرافية المصرية سلسلة بحوث جغرافية،
- المورفومترية لوديان الهضبة الغربية في محافظة النجف وعلاقتها بنشاط البشرى، أطروحة دكتوراه (غير منشورة)، كلية الآداب، جامعة الكوفة، 2012، ص86.
- 15 - Bergsma. E.I Rainfall Erosion Surreys for conservation Planning. ITC Journal. Vol.2. 1983. P.167.
- 16 - خالد المطري، جغرافية التربة، ط1، الدار السعودية للنشر والتوزيع، جده، 2004، ص180.

العدد 48، القاهرة، 2012.

8. محمد سعيد البارودي وأخرون، استخدام
نظم المعلومات الجغرافية في تقدير أحجام
السيول ومدى خطورتها عند المجرى الأدنى
لوادي نعمان جنوب مكة المكرمة من خلال
تطبيق نموذج سنайдر واعتماد نموذج
الارتفاعات الرقمية، المؤتمر الجغرافي
الدولي (الجغرافيا والتغيرات العالمية
المعاصرة)، كلية الآداب والعلوم الإنسانية،
جامعة طيبة، مكة المكرمة، 2012.

9. مها قحطان جبار، حوض تغذية نهر باسرة.
دراسة في الجغرافية الطبيعية، رسالة
ماجستير (غير منشورة)، كلية الآداب،
جامعة بغداد، 2007.

10. نوال كامل علوان، تقدير حجم الجريان
السطحي لحوض وادي دويريج، رسالة
ماجستير غير منشورة، كلية التربية للبنات،
جامعة بغداد، 2014.

11. Bergsma. E.I. Rainfall Erosion
Surveys for conservation Plan-
ning. ITC Journal. Vol.2. 1983.

12. Raghunath. H.M.R.. Hydrology.
Principles analysis design. re-
vised second edition. New age in-
ternational ltd. Publishers. 2006.

ملحق (١)

درجات قياس شدة التعرية الأخدودية وفقاً لتصنيف (Bergsma)

رقم الموقع	أطوال الوديان كم	مساحة كم ٢	التعرية الأخدودية	درجة التعرية
١	٢١٥,١٠٤٠٤	٠,١٠٣٩٧	٢٠٨٨,٩٩١٧٨	٤
٢	٢٦,٤٢٣٤٦	٠,٣٢٨٦٤	٨٠,٤٠٢٤٥	١
٣	٤٠,١٣٩١٦	٠,٤٧٧٦٤	٨٤,٠٣٦٤٣	١
٤	١٩٠٢,٦٧٥٨٣	١	١٩٠٢,٦٧٥٨٣	٤
٥	٣٨٠٨,٥٩٥٥٢	١	٣٨٠٨,٥٩٥٥٢	٥
٦	٤١٥٢,٦٢٦٣٨	٠,٩٠٨٢٣	٤٥٧٢,٢١٨٩١	٦
٧	١١٢٥,٤١٤٣٨	٠,٦٣٥٧٦	١٧٧٠,١٨٧٤٦	٤
٨	١١٢,٦١٢٩٣	٠,٥٣٨٥٣	٢٠٩,١١١٧١	١
٩	٤٦٤,٤٧٣٢٢	٠,٢٥٠٨٢	١٨٥١,٨١٨٩١	٤
١٠	٥٧٢,٥٢٨٤٥	٠,٨٧٨٣٧	٣٠٩٧,٢٤٦٥٥	٦
١١	٥٢٦٨,٤٩٣٢٤	١	٥٢٦٨,٤٩٣٢٤	٧
١٢	١٨٢٧,٤٣٥٨٥	١	١٨٢٧,٤٣٥٨٥	٤
١٣	٣٨٣٤,٢٧٧٨٩	١	٣٨٣٤,٢٧٧٨٩	٦
١٤	١١٨٩,٥٨٠٢١	١	١١٨٩,٥٨٠٢١	٣
١٥	٣٢٧١,٠١٠٢٥	١	٣٢٧١,٠١٠٢٥	٥
١٦	١٤٢٧,٠٨٩١٥	٠,٨٢٩٠١	١٧٢١,٤٣٧٨	٤
١٧	٢٧٣,٤١٢٦٢	٠,٢٨٣٨١	٩٦٣,٣٦٥	٣
١٨	٣٨,٧٤٥٨٥	٠,٤٧٧٦	٨١,١٢٦١٥	١
١٩	١٨١٩,٧٣٣٩٦	١	١٨١٩,٧٣٣٩٦	٤
٢٠	٣٧٨٦,٨١٥٥	١	٣٧٨٦,٨١٥٥	٦
٢١	٢١٠١,٨١١	١	٢١٠١,٨١١	٣
٢٢	٣١٤٣,٥٩٢٦٣	١	٣١٤٣,٥٩٢٦٣	٥
٢٣	٣١٨٨,٨٦٩٨٣	١	٣١٨٨,٨٦٩٨٣	٥

رقم الموقع	أطوال الوديان كم	مساحة كم²	التعرية الأخدودية	درجة التعرية
٢٤	٣٥٢٧,٩٧٦٣٧	١	٣٥٢٧,٩٧٦٣٧	٥
٢٥	٨٤٩,٠٧٧٠٤	١	٨٤٩,٠٧٧٠٤	٥
٢٦	٢٢٩٩,٨٩٨١٧	١	٢٢٩٩,٨٩٨١٧	٤
٢٧	١٤١٢,٤٠٦١٢	٠,٩٤٧٦٣	١٤٩٠,٤٦١٥٩	٣
٢٨	١٤١٢,٣٠٥٤٩	٠,٧٦٨٨٤	١٨٣٦,٩٣٠٣	٤
٢٩	١٧٨٠,٧٦٧٢٣	٠,٥٠٥٨٧	٣٥٢٠,٢٠٧٢٣	٥
٣٠	١٣٢,٢٤١٤٣	٠,٣٣١٧٥	٣٩٨,٦١٧٧٢	١
٣١	٢١٤٢,٥٦٧١٥	٠,٩٤٣٩٩	٢٢٦٩,٦٩٢٦٣	٤
٣٢	٥٢١٤,٤٣٩٧٢	١	٥٢١٤,٤٣٩٧٢	٧
٣٣	٥٦١٤,٥٥٩٦٩	١	٥٦١٤,٥٥٩٦٩	٤
٣٤	٣٣٢٦,٣٠٧٩٧	١	٣٣٢٦,٣٠٧٩٧	٥
٣٥	٤٠٧٥,٤٨٤٠٦	١	٤٠٧٥,٤٨٤٠٦	٦
٣٦	٢٨٨٣,٧٢٢٢	١	٢٨٨٣,٧٢٢٢	٤
٣٧	١٧٤٢,٠٦٦٧٦	١	١٧٤٢,٠٦٦٧٦	٤
٣٨	١٢٢٧,٨٤١٠٨	١	١٢٢٧,٨٤١٠٨	٣
٣٩	٤٩٤٧,٤٤٦٧	١	٤٩٤٧,٤٤٦٧	٦
٤٠	٣٩٥٧,٩٥٩٨٩	١	٣٩٥٧,٩٥٩٨٩	٦
٤١	٣٩٧٣,٥١٨١	١	٣٩٧٣,٥١٨١	٦
٤٢	٤٢٩٨,٥١٨٦٤	١	٤٢٩٨,٥١٨٦٤	٦
٤٣	٣٦٧٥,١٣٧٩٦	١	٣٦٧٥,١٣٧٩٦	٥
٤٤	٩٩١,٥٣٢٦٢	٠,٤٢٦٨٣	٢٣٢٣,٠١٥٣	٤
٤٥	٦٥٤,٦٦٦٤	٠,٤٨٥٧	١٣٤٧,٨٨٢٢٣	٣
٤٦	٢٥٨٨,٤١٢٢١	١	٢٥٨٨,٤١٢٢١	٤
٤٧	٢٤٩٤,٥٦٢٦٦	١	٢٤٩٤,٥٦٢٦٦	٤

رقم الموقع	أطوال الوديان كم	مساحة كم²	التعريـة الأخدودية	درجة التعريـة
٤٨	٥٨٣٣,٥٠٠٧	١	٥٨٣٣,٥٠٠٧	٧
٤٩	٢٣١١,٣٥٤١٢	١	٢٣١١,٣٥٤١٢	٤
٥٠	٢٩١٩,١٣٦١٦	١	٢٩١٩,١٣٦١٦	٥
٥١	٣١٦١,٧٨٠١٢	١	٣١٦١,٧٨٠١٢	٥
٥٢	٣٢٢٨,١٨٦٩٣	١	٣٢٢٨,١٨٦٩٣	٥
٥٣	٢٢٥٨,١٧٤٥٩	١	٢٢٥٨,١٧٤٥٩	٤
٥٤	٤٨٦١,٩١٣٠٥	١	٤٨٦١,٩١٣٠٥	٧
٥٥	٢٤٧٨,٦٩١٨٧	١	٢٤٧٨,٦٩١٨٧	٤
٥٦	٣٤٥٠,٣٢٤٢١	١	٣٤٥٠,٣٢٤٢١	٥
٥٧	٢١١٨,٠٣٠٣٤	١	٢١١٨,٠٣٠٣٤	٤
٥٨	٥١٩٧,٣١٤٧	١	٥١٩٧,٣١٤٧	٧
٥٩	٥٠٣١,٧٩٥٨١	١	٥٠٣١,٧٩٥٨١	٧
٦٠	٤٠٣٧,١٧٤٧٤	٠,٩٣٥٣٧	٣٧٧٦,٣٥٢١٤	٦
٦١	١٧٠٩,٣١٣١٣	٠,٤٩٧٧١	٨٥٠,٧٤٢٢٤	٤
٦٢	١٥٠٤,٩٧٠٥٥	٠,٩٩٠٣١	١٤٩٠,٣٨٧٣٦	٤
٦٣	٤٦٦٢,١٥٨٤٩	١	٤٦٦٢,١٥٨٤٩	٦
٦٤	٤٧٠٠,٧١٨٨٧	١	٤٧٠٠,٧١٨٨٧	٦
٦٥	٢٣٥٢,٠١٥٨٤	١	٢٣٥٢,٠١٥٨٤	٤
٦٦	٣٣٤٧,٦٢٠٢٨	١	٣٣٤٧,٦٢٠٢٨	٥
٦٧	٣٧٤٧,١٨٧٠٥	١	٣٧٤٧,١٨٧٠٥	٥
٦٨	١٧٢٠,٧٠٦٥٩	١	١٧٢٠,٧٠٦٥٩	٤
٦٩	٣٣١٨,٧١١٥٧	١	٣٣١٨,٧١١٥٧	٥
٧٠	٢٨٦٤,٢٤٩١٣	١	٢٨٦٤,٢٤٩١٣	٥
٧١	٢٣٣٣,٩٠٨٤٨	١	٢٣٣٣,٩٠٨٤٨	٤

رقم الموقع	أطوال الوديان كم	مساحة كم²	التعرية الأخدودية	درجة التعرية
٧٢	٢١٠٨,٤٠٨٠٢	١	٢١٠٨,٤٠٥٠٢	٤
٧٣	٣١٢٩,٣٨٥٧٥	١	٣١٢٩,٣٨٥٧٥	٥
٧٤	٣٨٦٣,٧٠٦٣١	١	٣٨٦٣,٧٠٦٣	٦
٧٥	٧٣١٠,١٤٧٩٣	١	٧٣١٠,١٤٩٣	٧
٧٦	٥٢٧٣,٦٦٧٤٩	١	٥٢٧٣,٦٦٧٤٩	٧
٧٧	٢٥٤٧,٨٣٤١٤	.٦٥٣٦١	١٦٦٥,٢٨٩٨٧	٤
٧٨	٢٨٠,٠٣٥٠٤	.٠٧٩٦٢	٢٢,٢٩٦٣٩	١
٧٩	٢٦١٠,٦٣٧١٤	.٩٢٦٦٦	٢٤١٩,١٧٣٠١	٤
٨٠	٤٩٥٩,٤١٢٠٨	١	٤٩٥٩,٤١٢٠٨	٧
٨١	١٨٨٣,٤٥٣٣٦	١	١٨٨٣,٤٥٣٣٦	٤
٨٢	٢٩١٦,٢١١٦٩	١	٢٩١٦,٢١١٦٩	٥
٨٣	٣٣٢٣,١١٦٣٥	١	٣٣٢٣,١١٦٣٥	٥
٨٤	٢٦٢١,٧٤٦٣٤	١	٢٦٢١,٧٤٦٣٤	٤
٨٥	٣٥٠١,٦٢٤٨٢	١	٣٥٠١,٦٢٤٨٢	٥
٨٦	٢٣٢١,٣٦٠٧٩	١	٢٣٢١,٣٦٠٧٩	٤
٨٧	٥٠٤٠,٦٦٨٢٧	١	٥٠٤٠,٦٦٨٢٧	٧
٨٨	٥٠١٨,٢٨٩٥٢	١	٥٠١٨,٢٨٩٥٢	٤
٨٩	٣١٦٢,٨٣٩٠٥	١	٣١٦٢,٨٣٩٠٥	٥
٩٠	٥٣١٢,٤٩٨٩١	١	٥٣١٢,٤٩٨٩١	٧
٩١	٥٢٢٦,٠٣٩١٨	١	٥٢٢٦,٠٣٩١٨	٧
٩٢	٣٦٣٤,٤٦٠٠٩	١	٣٦٣٤,٤٦٠٠٩	٥
٩٣	٢٤٢٦,٤٠١٥٤	١	٢٤٢٦,٤٠١٥٤	٤
٩٤	٢٧٦٥,٥١٢٥٤	.٨١٩٥١	٢٢٦٦,٣٦٥١٨	٥
٩٥	١٠٦٩,٧٤٥٥	.٤٦١٢٢	٤٩٣,٣٨٨٠٢	٣

رقم الموقع	أطوال الوديان كم	مساحة كم²	التعريـة الأخدودية	درجة التعريـة
٩٦	٤٣٥٧,١٨٥٥٢	١	٤٣٥٧,١٨٥٥٢	٦
٩٧	٦٠٤٠,٠٥٤٩	١	٦٠٤٠,٠٥٤٩	٧
٩٨	٣٤٤٢,٧٥٤٥٣	١	٣٤٤٢,٧٥٤٥٣	٥
٩٩	٣٢٦٦,٧٩٦٨٨	١	٣٢٦٦,٧٩٦٨٨	٥
١٠٠	٤٦٠٨,٨٥٣٧٤	١	٤٦٠٨,٨٥٣٧٤	٦
١٠١	٢٤٥٨,٥٨٣١٩	١	٢٤٥٨,٥٨٣١٩	٤
١٠٢	٢٣٦٤,٥٥٩٤٨	١	٢٣٦٤,٥٥٩٤٨	٤
١٠٣	٣٣٧٢,٥٣٤١٧	١	٣٣٧٢,٥٣٤١٧	٥
١٠٤	٤٠٩٦,٩٧٦٧٨	١	٤٠٩٦,٩٧٦٧٨	٦
١٠٥	٤١٣٣,٠٤٥٥٧	١	٤١٣٣,٠٤٥٥٧	٦
١٠٦	٣٣٠٤,٦٤٨	١	٣٣٠٤,٦٤٨	٥
١٠٧	٣٨٧٧,٠٩٨٢٧	١	٣٨٧٧,٠٩٨٢٧	٦
١٠٨	٢٦٢٣,٢٤٠٨١	١	٢٦٢٣,٢٤٠٨١	٤
١٠٩	٣٤٧٩,٥٨٤٨٩	١	٣٤٧٩,٥٨٤٨٩	٥
١١٠	٥٦٢٣,١٦٣٠٦	٠,٩٩١٥٨	٥٥٧٤,١٢٩٠٨	٧
١١١	٠	٠,٠٨٧٢٥	٠	١
١١٢	٤١٩,٠٧٢١٧	٠,٣٩٣٢	١٠٦٥,٧٩٩٠١	٣
١١٣	٤٧٨٥,٩٤٧٤٨	١	٤٧٨٥,٩٤٧٤٨	٧
١١٤	٥٨٤٦,٣٧٣٦٤	١	٥٨٤٦,٣٧٣٦٤	٧
١١٥	٥٧٣٨,٦٨٣٨	١	٥٧٣٨,٦٨٣٨	٧
١١٦	٥٦٢٤,٢١١٨٣	١	٥٦٢٤,٢١١٨٣	٧
١١٧	٢٥١٢,٩٧٣٣٣	١	٢٥١٢,٩٧٣٣٣	٤
١١٨	٢١٥٧,٤١٢٥٦	١	٢١٥٧,٤١٢٥٦	٤
١١٩	٣٥٠٦,٤٦٦٦	١	٣٥٠٦,٤٦٦٦	٥

رقم الموقع	أطوال الوديان كم	مساحة كم²	التعرية الأخدودية	درجة التعرية
١٢٠	٢٣٣١,٧٨٣٢٢	١	٢٣٣١,٧٨٣٢٢	٤
١٢١	٣٧٣٦,٥٦١٤٥	١	٣٧٣٦,٥٦١٤٥	٦
١٢٢	٣٣١٦,٩٨٣٦١	١	٣٣١٦,٩٨٣٦١	٥
١٢٣	٢٨٦٤,٩١١٩٥	١	٢٨٦٤,٩١١٩٥	٥
١٢٤	٤٠١٧,٥٤١٠٩	١	٤٠١٧,٥٤١٠٩	٦
١٢٥	٦١٩٦,٦١١٨	١	٦١٩٦,٦١١٨	٧
١٢٦	٤٤٩١,٢٤٠٣٥	١	٤٤٩١,٢٤٠٣٥	٦
١٢٧	٢٣٥٥,٢١٨٧٤	٠,٤٦٢٩٣	١٠٩٠,٣٠١٤١	٤
١٢٨	٠	٠,٠٢٦٢٢	٠	١
١٢٩	٣١٨٨,٠٦٠٦٩	٠,٤٨٩٠٥	١٥٥٩,٠٥٥٤٤	٥
١٣٠	٢١١٢,٥٦١٤٧	٠,٧٠٩٣٦	١٤٩٨,٥٦٦٤٦	٤
١٣١	٣١٤٥,٦٤٨٤٥	٠,٨٦٩٣	٢٧٣٤,٥١٢٢	٥
١٣٢	١٩٢٩,٨٣٦٩٣	٠,٥٤١٩٦	١٠٤٥,٨٩٤٤٢	٤
١٣٣	١٢٧٥,٩٨٨٩٥	١	١٢٧٥,٩٨٨٩٥	٣
١٣٤	٢٨٦٠,٤٨٧٩٢	١	٢٨٦٠,٤٨٧٩٢	٥
١٣٥	٣٣٧٩,١٥٤٠٤	١	٣٣٧٩,١٥٤٠٤	٥
١٣٦	٢٨٢٠,٩١٤٦٧	١	٢٨٢٠,٩١٤٦٧	٥
١٣٧	٤٤٥٥,١٧٧٥٥	١	٤٤٥٥,١٧٧٥٥	٦
١٣٨	٢٨٠٢,٣٧٣٧٨	١	٢٨٠٢,٣٧٣٧٨	٥
١٣٩	٥٨٨٨,١٣٥٦٩	١	٥٨٨٨,١٣٥٦٩	٧
١٤٠	٣٧٧٩,١٢٦٠٣	١	٣٧٧٩,١٢٦٠٣	٦
١٤١	٣٧١٨,٣٩٤٥٨	١	٣٧١٨,٣٩٤٥٨	٦
١٤٢	٢٣٣٥,٢٣٢٣٩	٠,٧٥٧١٣	١٧٦٨,٠٧٤٥	٤
١٤٣	٠	٠,٠٧٥٦٧	٠	١

رقم الموقع	أطوال الوديان كم	مساحة كم²	التعريـة الأخدودية	درجة التعريـة
١٤٤	٣٢١,١٣٧١٢	٠,٤٤٩٩٦	٧١٣,٧٠١٤٨	٢
١٤٥	٤٣٨٦,٧٤٩٩٥	١	٤٣٨٦,٧٤٩٩٥	٦
١٤٦	٥٣٧٩,٥٥٤٥٦	١	٥٣٧٩,٥٥٤٥٦	٧
١٤٧	٣٦٠٩,١٥٩٩٦	١	٣٦٠٩,١٥٩٩٦	٥
١٤٨	٣٦٤٨,٨٩٥٥	١	٣٦٤٨,٨٩٥٥	٥
١٤٩	٢٩٨٨,٣٠٩٥٤	١	٢٩٨٨,٣٠٩٥٤	٥
١٥٠	٢٥٧٣,١٥٤٠٣	١	٢٥٧٣,١٥٤٠٣	٤
١٥١	٤٣٠٢,١٧٢٧٨	١	٤٣٠٢,١٧٢٧٨	٦
١٥٢	٣٣٩٩,٢٠٦٧٤	٠,٩٠٠٦٣	٣٣٩٩,٢٠٦٧٤	٥
١٥٣	١٤٨,٣٤٣٧٩	٠,٩٩٢٣٤	٥٠٧,٤٣٥٨٣	٢
١٥٤	٠	٠,٠٧٦٦٩	٠	١
١٥٥	٢٢٦٩,٤٦٤٩٧	٠,٩٧٣٠٤	٢٣٣٢,٣٤٤٩٩	٤
١٥٦	٤٢٥٧,٨٧٨٥٨	١	٤٢٥٧,٨٧٨٥٨	٦
١٥٧	٤٩٨٧,٩١٠٤١	١	٤٩٨٧,٩١٠٤١	٧
١٥٨	٤٢٧٤,١٢٦٢٣	١	٤٢٧٤,١٢٦٢٣	٦
١٥٩	٤١٧٠,٩٥٤٦١	١	٤١٧٠,٩٥٤٦١	٦
١٦٠	٤٨٥٣,٠٣٩٠٦	١	٤٨٥٣,٠٣٩٠٦	٧
١٦١	٤٩٤١,٤٢٣٨	١	٤٩٤١,٤٢٣٨	٧
١٦٢	٦١٤,٩١٠٥٢	٠,٦٥٦٩٧	٩٣٥,٩٧٩٦	٢
١٦٣	٠	٠,٦٥٩	٠	١
١٦٤	٨٣٧,١٤٥٦٤	٠,٦٤٦٤٤	١٢٩٥,٠٠٩٠٣	٣
١٦٥	٣٤٥٣,٩٤٢٦٢	١	٣٤٥٣,٩٤٢٦٢	٥
١٦٦	٣٣٤٧,٢٦٦٦٧	١	٣٣٤٧,٢٦٦٦٧	٥
١٦٧	٣٣٢٣,٨٤٨٨٨	١	٣٣٢٣,٨٤٨٨٨	٥

رقم الموقع	أطوال الوديان كم	مساحة كم²	التعرية الأخدودية	درجة التعرية
١٦٨	٢٨٨٢,٥٤٣٣٤	١	٢٨٨٢,٥٤٣٣٤	٥
١٦٩	٤٦٥٨,٤٩٦٨٥	١	٤٦٥٨,٤٩٦٨٥	٦
١٧٠	٤٢٢٩,٤٠٧٨٢	١	٤٢٢٩,٤٠٧٨٢	٦
١٧١	١٨٠٨,٨١١٣٦	١	١٨٠٨,٨١١٣٦	٤
١٧٢	١٣٢١,٩٠٩٨٧	٠,٤٠٩٣٨	٣٢٢٩,٠٥٣٣٧	٥
١٧٣	٠	٠,٤٣٣٢٩	٠	١
١٧٤	١٢٠٢,٨٧٨٣١	١	١٢٠٢,٨٧٨٣١	٣
١٧٥	٣٨٠٩,٤١٩٤٦	١	٣٨٠٩,٤١٩٤٦	٦
١٧٦	٥٨٦٠,٨٩٣٧١	١	٥٨٦٠,٨٩٣٧١	٧
١٧٧	٤٣٠٩,٥٥٩٠٥	١	٤٣٠٩,٥٥٩٠٥	٦
١٧٨	٤٥٩٢,٦٠٨٦٥	١	٤٥٩٢,٦٠٨٦٥	٦
١٧٩	٤١٢٨,٧٠٠٨٣	١	٤١٢٨,٧٠٠٨٣	٦
١٨٠	٢٨٢٣,٣٩٨٩٤	١	٢٨٢٣,٣٩٨٩٤	٥
١٨١	٣٨٨٢,٣١٥٨٧	٠,٧٩٧٤٧	٣٠٩٦,٠٣٠٤٤	٦
١٨٢	٠	٠,٣٥٩٤	٠	١
١٨٣	١٨٣٩,٤٣٥٤٧	٠,٩٩٩٣٦	١٨٣٨,٢٥٨٢٣	٤
١٨٤	٥٧٥٩,٢٢٨٦٥	١	٥٧٥٩,٢٢٨٦٥	٧
١٨٥	٢٠٦٩,١٣٣٠٤	١	٢٠٦٩,١٣٣٠٤	٤
١٨٦	٣٦٤٣,٣٤٨٦٧	١	٣٦٤٣,٣٤٨٦٧	٦
١٨٧	٥٨٩٤,٥٤٦٨٣	١	٥٨٩٤,٥٤٦٨٣	٧
١٨٨	٣٢٠٧,٧٠٨١٩	١	٣٢٠٧,٧٠٨١٩	٥
١٨٩	١٢٨٣,٦١٥٤٨	٠,٧٥٢٦٧	١٧٠٥,٤١٦٠٣	٤
١٩٠	٠	٠,٤٤٩٦٥	٠	١
١٩١	٢٢٧٤,٤٩٠٧٢	٠,٨١٤٦٣	٢٧٩٢,٠٥٣٧٢	٥

رقم الموقع	أطوال الوديان كم	مساحة كم²	التعريـة الأخدودية	درجة التعريـة
١٩٢	٤٤٤٧,٣٦١٧٣	١	٤٤٤٧,٣٦١٧٣	٦
١٩٣	٣٢٥٣,٧٣٧٩١	١	٣٢٥٣,٧٣٧٩١	٥
١٩٤	٣٨٨٥,١٣٢٨٧	١	٣٨٨٥,١٣٢٨٧	٥
١٩٥	٥١٨٣,٢٥٥٤٥	١	٥١٨٣,٢٥٥٤٥	٧
١٩٦	٣٧٥٣,٩٨٦٦٨	١	٣٧٥٣,٩٨٦٦٨	٦
١٩٧	١٢٨٩,١٠٩١٣	.٧٩٥٧٢	١٦٢٠,٠٥٣٧	٤
١٩٨	.	.٠٧٥٩٢	.	١
١٩٩	٢٧,٦٠١٠٨	.٠٤٥٦١	٦٠٥,١٥٤١٣	٥
٢٠٠	٣٤٩٦,٢٧١٢٣	.٨٧٧٩٤	٣٩٨٢,٣٥٧٨٣	٦
٢٠١	٢٢٨١,٧٧٢٢	١	٢٢٨١,٧٧٢٢	٤
٢٠٢	٤٥٥٣,١١٢٦٥	١	٤٥٥٣,١١٢٦٥	٦
٢٠٣	٥١٩٥,٣٤٠٧٦	١	٥١٩٥,٣٤٠٧٦	٧
٢٠٤	٢٨٩٣,٥٥٩٤٨	.٨٧٢٨٨	٣٣١٤,٩٥٦٧٩	٥
٢٠٥	.	.١٠٤٧	.	١
٢٠٦	٢٧٠,٠١٨٤٣	.١٨٢٩	١٤٧٦,١٣٧٢٨	٣
٢٠٧	٢٢٨٩,٦١٨٧٧	.٩٣٠٤	٢٤٦٠,٨٩٧٢٢	٤
٢٠٨	٧٠٦٣,٩٠١٤٦	١	٧٠٦٣,٩٠١٤٦	٧
٢٠٩	٢٩٤٩,٩٤٥٩٤	.٩٧٠٠٥	٣٠٤١,٠٢٤٦٣	٥
٢١٠	٣٧٤,٣٨٨٧٥	.٢٢٠١٦	١٧٠٠,٥٣٠٣	٤
٢١١	٢١٩٥,٢٠٦٢١	.٤٦١٨٩	٤٧٥٣,٦٦٠١٨	٧
٢١٢	٥٢٧٩,٦٦٨٦٦	١	٥٢٧٩,٦٦٨٦٦	٧
٢١٣	٨٩٥,٨٩١٨	.٤٨٠٣٣	١٨٦٥,١٥٨٩٥	٤
٢١٤	١١٤١,٣٦٦١١	.٣٤٩٩٦	٣٢٦١,٤١٨٧٦	٥
٢١٥	٤٣٤٨,٠٩٤٦٤	.٩٨٢٤٨	٤٤٢٥,٦٣١٧١	٦

رقم الموقع	أطوال الوديان كم	مساحة كم²	التعريـة الأخدودـية	درجة التعريـة
٢١٦	٠	.٠٨٥٧٥	٠	١
٢١٧	٨٠٩,٣٧٠٥٨	.٣٦٥٧٢	٢٢١٢,٨١٤٦٧	٤
٢١٨	٥٦١٨,٢٢٣٣٤	.٩٧٤٣٥	٥٧٦٦,١٢٣٤١	٧
٢١٩	١٠٠,٠٢٧٠١	.٠٥٨٦٣	١٧٠٦,٠٧٢١٥	٤
٢٢٠	٠	.٠١٠٣٧	٠	١
٢٢١	٣٢٧٩,٧٣٩٦٩	.٦٤١٩٨	٥١٠٨,٧٧٢٣٨	٧
٢٢٢	١٢٥١,٠٤٣٨٧	.٤٩٤٣٣	٢٥٣٠,٧٨٦٨٦	٤
٢٢٣	٣١٥,٣٠٠٥٥	.٢٤٣٥١	١٢٩٤,٨١٥٦١	٣
٢٢٤	٢١٦٤,٩٣٠٤٩	.٤٧٩٧٦	٤٥١٢,٥٠٧٣٧	٦

المصدر. من عمل الباحثة آعتماداً على المرئية الفضائية للقمر الصناعي Quick Bird، 2010 بقدرة تميزية 60 سم بالإعتماد على برنامج Arc GIS 9.3. والمعادلة الحسابية.